

4. Renormierungsgruppenfluß

4.1 Wilson's Zugang zur Renormierungstheorie

$$\begin{array}{ccc}
 \text{stat. Physik / Ortsraum RG} & \leftrightarrow & \text{Feldtheorie / Impulsraum RG} \\
 \text{atomarer Gitterabstand } a & \leftrightarrow & \text{UV cutoff } \Lambda \sim \frac{1}{a} \\
 \text{Block-Spin-Träg } a = b a \quad (b>1) & \leftrightarrow & \text{Integration über Fluktuationen} \\
 & & \text{in einer "Impulsschale" } \Lambda = \left(\frac{\Lambda^2}{b} \right)^{1/2} < p^2 \leq \Lambda^2
 \end{array}$$

Beispiel ϕ^4 -Theorie:

$$S = \int d^d x \left[\frac{1}{2} (\partial_\mu \phi)^2 + \frac{1}{2} m^2 \phi^2 + \frac{\lambda}{4!} \phi^4 \right] \quad (4.1)$$

$$Z = \int \mathcal{D}\phi \ e^{-S[\phi]} \quad -S[\phi]$$

Impulsmoden:

$$\phi(p) = \underbrace{\bar{\phi}(p)}_{\text{Übrige "soft" Mode}} \Theta\left(\left(\frac{\Lambda}{b}\right)^2 - p^2\right) + \underbrace{\tilde{\phi}(p)}_{\text{Mode in der Impulsschale}} \left[\Theta(\Lambda^2 - p^2) - \Theta\left(\left(\frac{\Lambda}{b}\right)^2 - p^2\right) \right] \quad (4.2)$$

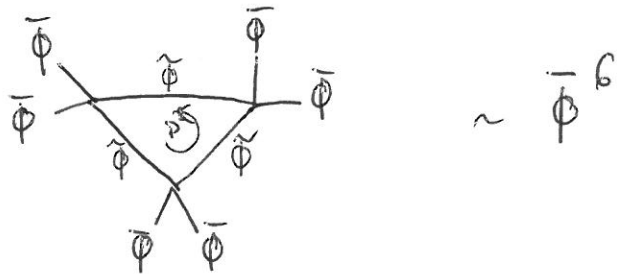
$$\Rightarrow Z = \int \mathcal{D}\bar{\phi} \int \mathcal{D}\tilde{\phi} \ e^{-S[\bar{\phi}, \tilde{\phi}]} \underset{\frac{\Lambda}{b} < |p| < \Lambda}{=} \int \mathcal{D}\bar{\phi} \ e^{-S_w[\bar{\phi}]} \quad (4.3)$$

S_w : Wilson'sche effektive Wirkung

- bestimmt die Dynamik der soften Moden $\bar{\phi}$
- enthält die Effekte der UV-Moden (Quanten-)
- allgemein wird S_w von folgender Form sein:

$$S_W = \int d^d x \left[\frac{1}{2} (1 + \Delta \tilde{\lambda}) (\partial_\mu \tilde{\Phi})^2 + \frac{1}{2} (m^2 + \Delta m^2) \tilde{\Phi}^2 + \frac{1}{4!} (\lambda + \Delta \lambda) \tilde{\Phi}^4 + \frac{1}{6!} \Delta \lambda_6 \tilde{\Phi}^6 + \Delta C (\partial_\mu \tilde{\Phi})^4 + \dots \right] \quad (4.4)$$

d.h. neben Änderungen der ursprünglichen Parameter werden auch ∞ -viele höhere Operatoren generiert, z.B.



Beispiel: $\sim \tilde{\Phi}^4$

für $p_i, m \ll 1/b$

vgl. (2.45): $\frac{1}{4!} \Delta \lambda \simeq -\frac{1}{16} \lambda^2 \int_{\frac{1}{b} < q^2 < 1} \frac{d^d q}{(2\pi)^d} \frac{1}{(q^2)^2}$

$$\Rightarrow \Delta \lambda = -\frac{3\lambda^2}{(4\pi)^{d/2} \Gamma(d/2)} \frac{(1 - b^{4-d})}{d-4} \lambda^{d-4} \quad (4.5)$$

$$\stackrel{d=4}{\Rightarrow} \Delta \lambda = -\frac{3\lambda^2}{16\pi^2} \ln b \quad (4.6)$$

(NB: in der früheren Behandlung war $\int_0^\Lambda \frac{d^d q}{(2\pi)^d} \dots \sim \ln \Lambda$
 \Rightarrow Log-Divergenz)

Wilson: Divergenz ist nicht "pathologisch", sondern zeigt, daß das Diagramm Beiträge von allen Skalen erhält)

Für einen Vergleich von S mit S_w reskalieren wir

$$\phi' = b\phi \quad , \quad x^1 = \frac{x}{b} \quad (4.7)$$

$$\Rightarrow \int d\phi \quad \rightarrow \int d\phi' \quad , \quad \int d^d x \rightarrow \int d^d x' b^d$$

$|p| < \frac{\Lambda}{b}$ $|p'| < \Lambda$

$$\Rightarrow S_w = \int d^d x' b^d \left[\frac{1}{2} (1 + \Delta z_\phi) b^{-2} (\partial_r \phi')^2 + \frac{1}{2} (m^2 + \Delta m^2) \bar{\phi}'^2 + \frac{1}{4!} (\lambda + \Delta \lambda) \bar{\phi}'^4 + \frac{1}{6!} \Delta \lambda_6 \bar{\phi}'^6 + \Delta C b^{-4} (\partial_r \phi')^4 + \dots \right]$$

$$\begin{aligned} \phi' &= [b^{d-2} (1 + \Delta z_\phi)]^{1/2} \bar{\phi} \\ &= \int d^d x' \left[\frac{1}{2} (\partial_r \phi')^2 + \frac{1}{2} m'^2 \phi'^2 + \frac{1}{4!} \lambda' \phi'^4 + \frac{1}{6!} \lambda'_6 \phi'^6 + C' (\partial_r \phi')^4 \right] \end{aligned} \quad (4.8)$$

$$\text{mit } m'^2 = (m^2 + \Delta m^2) (1 + \Delta z_\phi)^{-1} b^2$$

$$\lambda' = (\lambda + \Delta \lambda) (1 + \Delta z_\phi)^{-2} b^{4-d} \quad , \text{ etc.} \quad (4.9)$$

$$C' = (C + \Delta C) (1 + \Delta z_\phi)^{-2} b^{-d} \quad ,$$

\Rightarrow Impuls schalenintegration $\hat{=}$ Trafo auf dem Raum
der Wirkungen

$\Rightarrow R G \text{ Trafo}$

RG Trafos in der Nähe des Gaußschen Fixpunktes:

$$S_G^* = \left(d \times \frac{1}{2} (\partial_\mu \Phi)^2 \right) , \quad m^2 \Big|_{G*} = \lambda \Big|_{G*} = C \Big|_{G*} = \lambda_6 \Big|_{G*} = 0 = \dots \quad (4.10)$$

Im Fixpunkt-Regime können $m^2, \lambda, \text{etc.}$ vernachlässigt werden:

$$m'^2 = m^2 b^2, \quad \lambda' = \lambda b^{4-d}, \quad C' = C b^{-d}, \quad \lambda'_6 = \lambda_6 b^{6-2d}, \dots$$

allgemein: $u' = u b^\Theta$ (4.11)

Wegen $b > 1$ heißen die u mit

- $\Theta > 0$ relevant, weil diese Parameter das System unter RG-Trafos vom Fixpunkt wegbringen (IR instabil)
- $\Theta < 0$ irrelevant, weil diese Parameter unter RG-Trafos gegen 0 gehen (IR stabil)
- $\Theta = 0$ marginal; höhere Ordnungen entscheiden, ob diese Parameter das System vom Fixpunkt wegbringen können.

Allgemein hat ein der Koeffizient C_{k,m_i} eines Operators mit k Ableitungen und m_i Potenzen des Feldes Φ_i (mit kanonische Dimension $[\Phi_i]$) das Trafo-Verhalten

$$C'_{k,m_i} = b^{-(k + \sum m_i [\Phi_i] - d)} C_{k,m_i} \quad (4.12)$$

in der Nähe des Gaußschen Fixpunktes, d.h.

$$C'_{k,m} = b^{-S[V]} C_{n,m} \quad (4.13)$$

mit $S[V]$ der kanonischen Dimension des Vertex (Operators) (vgl. 2.32).

⇒ die Klassifikation (relevant, irrelevant, marginal) entspricht der Klassifikation (superrenormierbar, nicht-renormierbar, renormierbar)!



Konsequenzen (speziell für $d=4$):

bisherige Interpretation: alle in der Natur beobachteten fundamentalen Teilchen-physikalischen Theorien sind (perturbativ) renormierbar und das scheinbar zufällig.

Wilson'sche Interpretation: angenommen, eine noch fundamentale Theorie (String-Theorie, etc...) habe bei Λ (z.B. = M_{Planck}) die Symmetrien des Standard Modells ($SU(3) \times SU(2) \times U(1)$) und ist hier beschreibbar durch eine QFT.

Generisch wird diese QFT eine Wirkung mit allen möglichen \propto -vielen Kopplungen haben. Wenn die Kopplungskoeffizienten nicht zu groß sind, $\mathcal{O}(1)$, d.h. in der Nähe des Gaußschen Fixpunkts liegen, dann wird die IR Physik nur von den relevanten und marginalen

Operatoren dominieren, muß also einer renormierbaren QFT entsprechen (Universität).

Bsp. ϕ^4 -Sektor: Potential:

$$V(\phi) = \frac{1}{2} m^2 \phi^2 + \frac{1}{4!} \lambda_4 \phi^4 + \frac{1}{6!} \lambda_6 \phi^6 + \frac{1}{8!} \lambda_8 \phi^8 + \dots \quad (4.14)$$

$$\lambda_i = \mathcal{O}(1)$$

RG: $\underline{\lambda_{i \geq 6}^i} = b^{-i(\frac{d}{2}-1)+d} \underline{\lambda^{d=4}} = b^{-i+4} \underline{\lambda} \rightarrow 0 \quad (\underline{\text{schnell}}) \quad (4.15)$

$$\lambda' \stackrel{\Delta \lambda \approx O(\lambda^2)}{=} (\lambda + \Delta \lambda) b^{d-4}$$

$$\underline{\lambda'} = \lambda - \frac{3\lambda^2}{16\pi^2} \ln b \quad , d=4 \quad (4.16)$$

fällt nur langsam ab

$$m'^2 = b^2 (m^2 + \Delta m^2) (1 + \Delta z_\phi)^{-1} \quad (4.17)$$

wächst i. A. schnell an (im Einheiten vom aktuellen cut off)

(NB: Hierarchie-Problem im Standard-Modell mit fundamentalen Higgs-Skalen)

Aus dieser Überlegung folgt, daß gewöhnlich $m^2 = \mathcal{O}(\Lambda^2)$

bzw.

$$m_R^2 = m_0^2 - \underbrace{\Delta m^2}_{\mathcal{O}(\Lambda^2)}$$

$$\text{SM: } \sim 10^4 \text{ GeV}^2 = \sim 10^{32} \text{ GeV}^2 (1 + 10^{-28}) - \sim 10^{32} \text{ GeV}^2$$

(4.18)

$$\text{für } \Lambda \approx M_{\text{GUT}} \approx 10^{16} \text{ GeV}$$

\Rightarrow damit GUT- und Fermi-Skala 14 Größenordnungen auseinander liegen können (Eich-Hierarchie), muß die massive Masse bei M_{GUT} auf 28 Stellen genau gewählt werden sein – nicht unmöglich aber unnatürlich.)

4.2 Asymptotic Safety

Perturbativ renormierbare Theorien ergeben sich also automatisch im IR, wenn das QFT System durch den Gaußschen Fixpunkt dominiert wird.

Was passiert, wenn das System durch einen nicht-Gaußschen, d.h. wechselwirkenden, FP dominiert wird?

Sind Theorien renormierbar, auch wenn die Störungsentwicklung scheitert?

Warum Renormierbarkeit?

- IR physik sollte wohlgetrennt sein von UV Physik (cutoff Λ unabh.) (Universitität)
- # physik. Parameter $< \infty$
- QFT sollte vorhersagefähig sein
 \Rightarrow erligierbar in Störungstheorie

Jenseits von Störungstheorie: Scenario der "Asymptotic Safety"

(Weinberg '76
Gell-Mann-Low '54)

Annahme: es gibt einen nicht-Gaußschen FP im Raum aller möglichen Kopplungen g_i , welche von den Symmetrien erlaubt sind:

$$k \frac{\partial}{\partial k} g_i \equiv \partial_t g_i = \beta_i(g_1, g_2, \dots) \quad \text{generalisierte } \beta \text{ Funktionen aller Kopplungen}$$

$$\text{mit } t = \ln \frac{k}{\Lambda} \quad (\text{"RG Zeit"}) \quad , \quad (4.19)$$

(Zusammenhang mit b :

$$b = \frac{\Lambda}{\Lambda'} \stackrel{!}{=} \frac{k + \Delta k}{k} = 1 + \frac{\Delta k}{k}$$

$$\Rightarrow \ln b = \ln(1 + \frac{\Delta k}{k}) \approx \frac{\Delta k}{k} \quad)$$

$$\text{non-Gaußsches FP: } \beta_i(g_{*1}, g_{*2}, \dots) = 0 \quad (4.20)$$

mit mindestens einem $g_{*i} \neq 0$

Linearisiertes FP Regime:

$$\partial_t g_i = \bar{\beta}_i^j (g_{*i} - g_j) + \dots, \quad \bar{\beta}_i^j = \left. \frac{\partial \beta_i}{\partial g_j} \right|_{g=g_*} \quad (4.21)$$

(Stabilitätsmatrix)

Sei V_j^I (Rechts-) Eigenvektor von B_i^j mit Eigenwert Θ^I :

$$B_i^j V_j^I = -\Theta^I V_j^I , \quad (4.22)$$

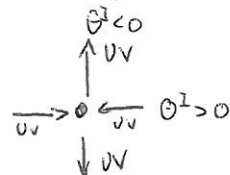
dann ist die allgemeine Lösung des Kopplungsflusses im FP-Regime gegeben durch

$$g_i = g_{*i} + \sum_I C^I V_i^I \left(\frac{k_0}{k}\right)^{\Theta^I} \quad (4.23)$$

mit Anfangsbedingungen $C^I = \text{const.}$ und Referenzskala k_0 .

Klassifikation:

$\Theta^I < 0$: UV repulsiv \Rightarrow RG irrelevant



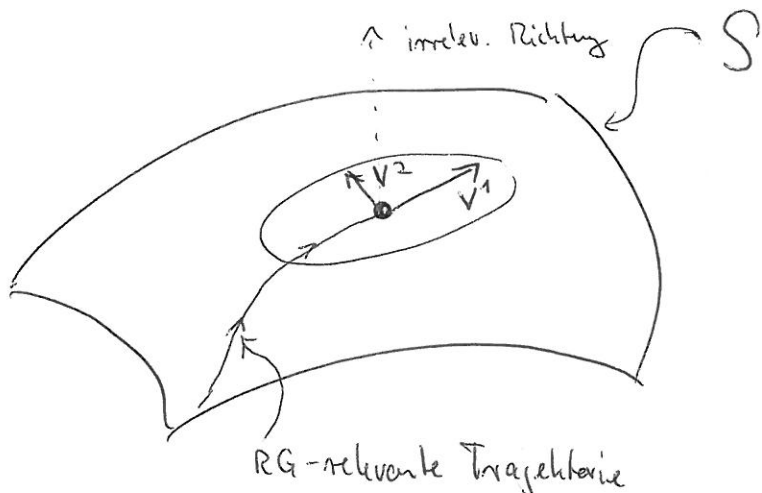
$\Theta^I > 0$: UV attraktiv \Rightarrow RG relevant

$\Theta^I = 0$: ... es kommt drauf an... \Rightarrow RG marginal

Konstruktion der "Asymptotic Safety":

- alle Punkte im Kopplungsraum, die für $k \rightarrow \infty$ ("im UV") den FP treffen, d.h. auf RG relevanten Trajektorien liegen, bilden die kritische Hyperfläche S

- alle relevanten V_i^I (mit $\theta^I > 0$) spannen den Tangentialraum zu S am FP auf.



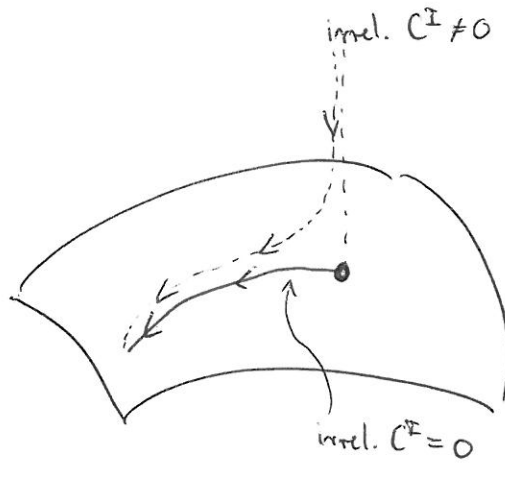
$$\Rightarrow \dim S = \Delta \triangleq \# \text{ der relevanten Richtungen mit } \theta^I > 0$$

- Renormierung : setze alle $C^I = 0$ für alle irrelevanten $\theta^I < 0$
 - \Rightarrow Limes $k \rightarrow 1 \rightarrow \infty$ existiert
(System läuft in den FP, alles ist "endlich")
 - \Rightarrow cutoff Unabhängigkeit gewährleistet
(konforme Invarianz)
- Wieviel physik. Parameter?

$$\# \text{ phys. Par.} = \# \text{ nicht-trivialen Anfangsbed.} = \Delta = \dim S \\ < \infty \quad \text{dann, wenn } \Delta < \infty$$

- Vorhersagekräftig?

Selbst wenn die irrelevanten $C^I \neq 0$ bei einer UV-Skala Λ , wird die IR Physik von Ihnen nicht beeinflusst:



\Rightarrow Universalität kontrolliert die Vorhersagefähigkeit!

\Rightarrow QFT's mit "Asymptotic Safety" sind physikalisch genauso brauchbar wie perturb. renormierbare Theorien.

(".nicht perturbativ-ren'bare Theorien können bis Weiten nicht-perturbativ ren'bar sein...")

Problem: ... wie berechnen ?